

Jan Galicki, Anatoliusz Jakowluk
Katedra Mechaniki Stosowanej
Politechnika Białostocka

IDENTYFIKACJA ZMĘCZENIA CIEPLNEGO W ZŁOŻONYCH STANACH NAPRĘŻEN

Streszczenie. Dla jednoosiowego stanu naprężenia stosuje się kryteria zmęczenia, zawierające liczbę cykli do zniszczenia, stałą materiałową i parametry procesu odkształcania. W niniejszej pracy założono, że kryterium zmęczenia cieplnego w płaskim stanie naprężeń będzie zawierać parametr w postaci przyrostu intensywności odkształceń $\Delta\epsilon$, a stała materiałowa będzie funkcją sumy przyrostów intensywności odkształceń.

Резюме. Для одноосного напряженного состояния применяются критерии усталости, содержащие число циклов до разрушения, постоянную материала и параметры процесса деформирования. В настоящей работе допускается, что критерий термической усталости в плоском напряженном состоянии вмещает параметр в форме приращения интенсивности деформаций $\Delta\epsilon$, а постоянная материала превращается в функцию суммы приращений интенсивности деформаций.

Summary. For a uniaxial stress state the fatigue criteria were applied which included the number of cycles to fatigue N , material constant and strain process parameters. In this paper it is assumed that of the thermal fatigue criterion for biaxial stress states will contain a parameter in the form of the intensity increment of total strain $\Delta\epsilon$ and the material constant should be changed to the function of the sum of strain intensity increment.

1. WSTĘP

Urządzenia energetyczne pracujące w podwyższonych zmiennych temperaturach poddawane są złożonemu działaniu obciążeń termicznych i mechanicznych (płomieniówki, rurociągi ciepłownicze, wymienniki ciepła). Zjawisko zmęczenia cieplnego występuje również w wielu innych dziedzinach techniki. Stąd wynika potrzeba sformułowania kryterium zniszczenia zmęczenia cieplnego w różnych jednorodnych stanach naprężeń.

Dla jednoosiowego stanu naprężeń kryterium zmęczenia cieplnego formuluje się w dwojaki sposób: 1) adaptując kryteria małowyczkowego zmęczenia mechanicznego, 2) porównując żywotność przy pełzaniu i zmęczeniu cieplnym określa się temperaturę zredukowaną procesu pełzania. Kryteria zmęczenia mechanicznego zawierają liczbę cykli do zniszczenia N_f , stałe materiałowe i następujące parametry procesu: $\Delta\epsilon_p$ lub $\Delta\epsilon$ - przyrost odkształcenia plastycznego lub całkowitego w cyklu, T_{\max} i T_{\min} - maksymalna i minimalna temperatura cyklu, ΔS - przyrost entropii w cyklu i także wielkości pochodne. Do formułowania kryterium zmęczenia cieplnego wykorzystuje się zależność S.S. Mansona [1] dla zmęczenia mechanicznego

$$\Delta\epsilon_p N_f^k = C_1, \quad (1)$$

gdzie: k_1, C_1 - stałe materiałowe.

Przykładowo T. Udouchi i T. Wada [2], wprowadzając do równania (1) funkcję $F = F(T)$, otrzymali kryterium zmęczenia cieplnego

$$N_f^k \Delta\epsilon F(T) = C_2. \quad (2)$$

G.S. Pisarienko, W.N. Rudienko i G.N. Trietjaczenko [3], na podstawie (1), dla zmęczenia cieplnego otrzymali kryterium

$$N_f = \left\{ B / \left[E(\alpha_T \Delta T)^{n+1} (K^{n+1})^{1/m'} \right] \right\}^{1/m}, \quad (3)$$

gdzie: E - moduł Younga,

K - sztywność obciążenia,

α_T - współczynnik rozszerzalności liniowej,

B, m, n - stałe materiałowe.

G.N. Trietjaczenko [4] w miejsce przyrostu odkształcenia plastycznego wprowadził do wzoru (1) przyrost entropii ΔS w cyklu, tj.

$$\Delta S N_f^k = C_3. \quad (4)$$

R.A. Dulniew i P.J. Kotow [5] wprowadzili do wzoru (1) przyrost odkształcenia całkowitego $\Delta\epsilon$ w cyklu, tj.

$$N_f^k \Delta\epsilon = C_4. \quad (5)$$

Natomiast W.W. Moskwitin [6] wykazał, że w przypadku materiału z umoc-

nieniem liniowym i wprowadzeniu całkowitego zakresu odkształcenia w cyklu we wzorze (5) można założyć $k_4 = 0,5$.

Celem niniejszej pracy jest sformułowanie kryterium zniszczenia i jego weryfikacja dla przypadku zmęczenia cieplnego w złożonych jednorodnych stanach naprężeń.

2. FORMUŁOWANIE MODELU MATEMATYCZNEGO KRYTERIUM ZMĘCZENIA CIEPLNEGO

Przy formułowaniu modelu matematycznego zniszczenia w płaskim stanie naprężeń wykorzystano kryterium (5) przyjmując $k_4 = 0,5$ i przyrosty współrzędnych tensora odkształceń całkowitych $\Delta \epsilon_k$. Przyjęto izotropowy model zniszczenia w postaci

$$\sum_{n=1}^N (\Delta \epsilon_1)_n^2 = C \left[\sum_{n=1}^N (\Delta \epsilon_1)_n \right], \quad (6)$$

gdzie $C \left[\sum_{n=1}^N (\Delta \epsilon_1)_n \right]$ - funkcja sumy przyrostów intensywności odkształceń $\Delta \epsilon_1$ do zniszczenia. Krzywe odkształceń $\epsilon_{11}(n)$ i $2\epsilon_{12}(n)$ zawierają typowe stadia pełzania, stąd kryterium (6) korzystnie jest zapisać w postaci

$$\sum_{n=1}^N (\Delta \epsilon_1)_n^2 + \sum_{n=1}^N (\Delta \epsilon_1)_n^2 + \dots + \sum_{n=1}^N (\Delta \epsilon_1)_n^2 = C \left[\sum_{n=1}^N (\Delta \epsilon_1)_n \right]. \quad (7)$$

Przyrost intensywności odkształceń w $n+1$ cyklu określono następująco

$$\Delta \epsilon_1(n+1) = \frac{1}{2} \{ |\epsilon_1(n+\frac{1}{2}) - \epsilon_1(n)| + |\epsilon_1(n+1) - \epsilon_1(n+\frac{1}{2})| \}, \quad (8)$$

tj. jako wartość średnią z półcykli chłodzenia i grzania próbki. Przyjmując definicję intensywności odkształceń N.I. Biezuchowa [7] w postaci

$$\epsilon_1 = \frac{1}{(1+\nu)\sqrt{2}} \left[(\epsilon_{11} - \epsilon_{22})^2 + (\epsilon_{22} - \epsilon_{33})^2 + (\epsilon_{33} - \epsilon_{11})^2 + 6(\epsilon_{12}^2 + \epsilon_{23}^2 + \epsilon_{31}^2) \right]^{\frac{1}{2}} \quad (9)$$

i biorąc pod uwagę $\epsilon_{22} = \epsilon_{33} = -\nu \epsilon_{11}$, otrzymujemy wyrażenia intensywności odkształceń do wzoru (8):

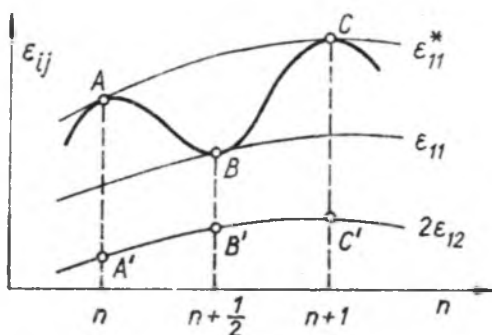
$$\begin{aligned} \epsilon_1(n) &= \frac{1}{(1+\nu)\sqrt{2}} \left[2(1+\nu)^2 \epsilon_{11}^2(n) + 6\epsilon_{12}^2(n) \right]^{\frac{1}{2}}, \\ \epsilon_1(n+\frac{1}{2}) &= \frac{1}{(1+\nu)\sqrt{2}} \left[2(1+\nu)^2 \epsilon_{11}^2(n+\frac{1}{2}) + 6\epsilon_{12}^2(n+\frac{1}{2}) \right]^{\frac{1}{2}}. \end{aligned} \quad (10)$$

$$\epsilon_{11}(n+1) = \frac{1}{(1+\nu)\sqrt{2}} \left[2(1+\nu)^2 \epsilon_{11}^{2*}(n+1) + 6\epsilon_{12}^2(n+1) \right]^{\frac{1}{2}},$$

gdzie:

$$\epsilon_{11}^* = \alpha_T (T_{\max} - T_r) - \epsilon_{11ex}^*, \quad \epsilon_{11} = \alpha_T (T_{\min} - T_r) - \epsilon_{11ex}, \quad (11)$$

odkształcenia przy temperaturze maksymalnej i minimalnej (rys. 1), ϵ_{11ex}^* , ϵ_{11ex} - odkształcenia zmierzone, T_r - temperatura pokojowa.



Rys.1. Krzywe odkształceń w procesie zmęczenia cieplnego
Fig.1. Curves of strains in the process of thermal fatigue

Współczynnik Poissona wyznaczono ze wzoru

$$\nu_n = |\Delta \epsilon_{22}(n) / \Delta \epsilon_{11}(n)|, \quad (12)$$

gdzie: $\Delta \epsilon_{11}(n) = \epsilon_{11}^*(n) - \epsilon_{11}(n)$,
 $\Delta \epsilon_{22}(n) = \epsilon_{22}^*(n) - \epsilon_{22}(n)$.

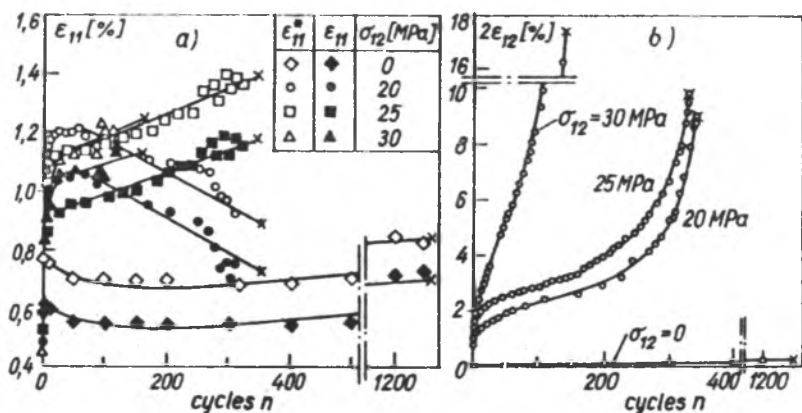
Odształcenia ϵ_{22}^* i ϵ_{22} są zależne następująco od odkształceń mierzonych na próbce ϵ_{22ex}^* i ϵ_{22ex} :

$$\epsilon_{22}^* = \epsilon_{22ex}^* - \alpha_T (T_{\max} - T_r), \quad \epsilon_{22} = \epsilon_{22ex} - \alpha_T (T_{\min} - T_r). \quad (13)$$

3. DANE EKSPERYMENTALNE

Próby zmęczenia cieplnego wykonano na próbkach rurkowych ze stali OH2M, na adaptowanym stanowisku Coffina, umożliwiającym statyczne skręcanie próbek. Próbki odpowiadały warunkowi $d/g \geq 10$, gdzie $d = 14$ mm - śred-

dnica zewnętrzna, $g = 1 \text{ mm}$ - grubość ścianki. Zakres temperatury w próbkach był następujący: $T_{\min} = 373$, $T_{\max} = 973 \text{ K}$ w cyklu trójkątnym, $\tau = 23 \text{ s}$ - okres. Wartość średnia współczynnika Poissona $\nu = 0,47$, tj. materiał praktycznie był w stanie nieściśliwości. Współczynnik rozszerzalności liniowej $\alpha_T = 1,30 \cdot 10^{-5} \text{ K}^{-1}$. Na rys. 2 podano przykładowe krzywe $\epsilon_{11}(n)$ i $\epsilon_{11}^{\circ}(n)$ (rys. 2a) oraz krzywe pełzania $2\epsilon_{12}(n)$ (rys. 2b). Krzywa dla $\sigma_{12} = 0$ odpowiada pełzaniu mikropolarnemu $2l_{12}$.



Rys. 2. a - krzywe ściskania - rozciągania $\epsilon_{11}(n)$ i $\epsilon_{11}^{\circ}(n)$,
 b - krzywe skręcania $2\epsilon_{12}(n)$

Fig. 2. a - curves of compression - tension $\epsilon_{11}(n)$ and $\epsilon_{11}^{\circ}(n)$,
 b - curves of torsion $2\epsilon_{12}(n)$

4. WERYFIKACJA MODELU MATEMATYCZNEGO KRYTERIUM ZMĘCZENIA CIEPLNEGO

Weryfikacja kryterium wg wzoru (6) polegała na określeniu postaci funkcji

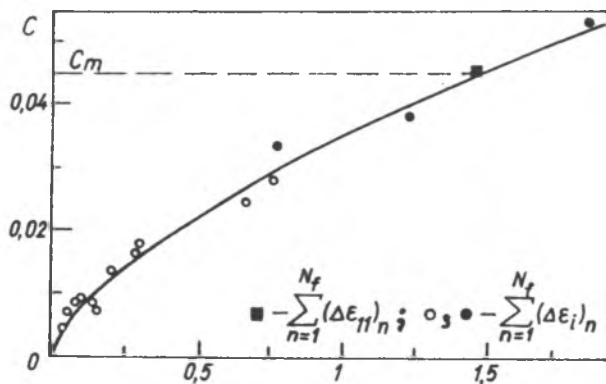
$$C = C \left[\sum_{n=1}^N (\Delta \epsilon_1)_n \right] \quad (14)$$

Wyniki doświadczalne wartości funkcji C dla poszczególnych próbek pokazano na rys. 3. W wyniku aproksymacji otrzymano następującą funkcję

$$C = 3,513 \cdot 10^{-2} \left[\sum_{n=1}^N (\Delta \epsilon_1)_n \right]^{0,65} \quad (15)$$

Linia ciągła na rys. 3 wskazuje, iż funkcja C została określona popraw-

nie. W szczególności funkcja ta spełnia warunek początkowy, tj. dla $N_f = 0$, $C = 0$. Na rysunku tym przedstawiono również wartość stałej $C_m = 0,0464$ wg kryterium (5) dla zmęczenia cieplnego w jednoosiowym stanie naprężenia.



Rys. 3. Weryfikacja kryterium wg (6): 1) punkty jasne - płaski stan naprężeń; 2) punkty ciemne - jednoosiowy stan naprężenia

Fig. 3. Verification of criterion according to Eq. (6): 1) unshaded points - biaxial stress states; 2) shaded points - uniaxial stress state

4. WNIOSKI

1) Zmęczenie cieplne stali OH2M w płaskim stanie naprężeń poprawnie opisuje izotropowe kryterium zniszczenia.

2) Stała materiałowa kryterium zmęczenia cieplnego w jednoosiowym stanie naprężenia przekształca się w funkcję materiałową w złożonych stanach.

LITERATURA

- [1] Manson S.S. A simple procedure for estimating high temperature low-cycle fatigue, *Exper. Mech.*, 8, 8, 349-352, 1968.

- [2] Udouchi T., Wada T., Thermal effect on low-cycle fatigue strenght of steels, Proc. Inter. Conf. on Thermal Stress and Thermal Fatigue, 109-112, Gloucestershire, 1969, Butterworth and Co Ltd. London, 1971.
- [3] Pisarienko G.S., Rudienko W.N., Trietjaczenko G.N., Procznost' materialow pri wysokich tiempieraturach, Naukowa Dumka, Kiew 1966.
- [4] Trietjaczenko G.N., Tiermiczeskaja ustalost' w metallach pri nierawnomiernom raspriedelenii tiempieratur i nagruzenii, Probl. Proczn., 10, 55-61, 1985.
- [5] Dulniew R.A., Kotow P.J., Tiermiczeskaja ustalost' metallow, Maszyno-strojenie, Moskwa 1980.
- [6] Moskwitin W.W., Cykliczeskije nagruzenija elementow konstrukcyj, Nauka, Moskwa 1981.
- [7] Biezuchow N.I., Tleorija uprugosti i plasticznosti, Gostechizdat, Moskwa 1953.

THE IDENTIFICATION OF THERMAL FATIGUE IN COMPLEX STRESS STATES

For a uniaxial stress state the fatigue criteria were applied which included the number of cycles to fatigue N_f , with material constants and following process parameters: $\Delta\epsilon_p$ or $\Delta\epsilon$ - increment of plastic or total strain in the cycle, T_{\min} and T_{\max} - minimal and maximal temperature of the cycle, ΔS - increment of entropy in the cycle and also derived quantity. For thermal fatigue the criterion of mechanical fatigue of S.S. Manson [1] is used in the form of Eq. (1). R.A. Dulnev and P.J. Kotov [5] introduce the increment of total strain in the cycle into Eq. (1) as in Eq. (5). In the case of material with linear hardening, V.V. Moskwitin [6] showed that for the total strain increments in Eq. (5) it can be assumed that $k_4=0.5$. The aim this paper was formulation of a thermal fatigue criterion in biaxial stress states and its experimental verification by compression - tension and torsion of tubular samples with steel, OH2M. In the paper in Eq. (5), where $k_4=0.5$, it is assumed that of the thermal fatigue criterion for biaxial stress states will be contain a parameter in the form of the increment total strain intensity $\Delta\epsilon_1$ and the material constant should be changed to the function of the sum strain intensity increment, i.e. a criterion in an isotropic form as in Eq. (6). The experimental data: 1) samples satisfied the condition $d/g > 10$, $d=14\text{mm}$ - outer diameter, $g=1\text{mm}$ - thickness of wall, 2) range of test temperature: $T_{\min} = 373$, $T_{\max} = 973\text{K}$ in a triangular cycle and a period $\tau = 23\text{s}$. The mean va-

lue of Poisson ratio $\nu = 0.47$, i.e. the material was practically in a state of incompressibility. In Fig.2 there are given examples of compression - tension curves $\epsilon_{11}(n)$ for T_{\min} and $\epsilon_{11}^{\circ}(n)$ for T_{\max} (Fig.2.a) and of creep curves $2\epsilon_{12}$ from the torsional moment (Fig.2.b). The verification of the criterion consist in determination of the function C in Eq.(6). The experimental results of the values of function C for individual samples are shown in Fig.3. As a result of approximation the function (15) was obtained.